

# Pistes d'optimisation de traitement des patients atteints de néoplasmes myéloprolifératifs

Isabelle Plo, Ph.D  
DR2 INSERM

Team co-leader « From hematopoietic stem cell to megakaryocyte »  
INSERM U1287, Gustave Roussy

## Traitements des NMP

Contrôler les paramètres sanguins  
Eviter complications thrombo-hémorragiques  
Traiter les symptômes

**Thrombocytémie  
Essentielle  
(TE)**

**Polyglobulie  
de Vaquez  
(PV)**

**Myélofibrose  
Primaire  
(MFP)**

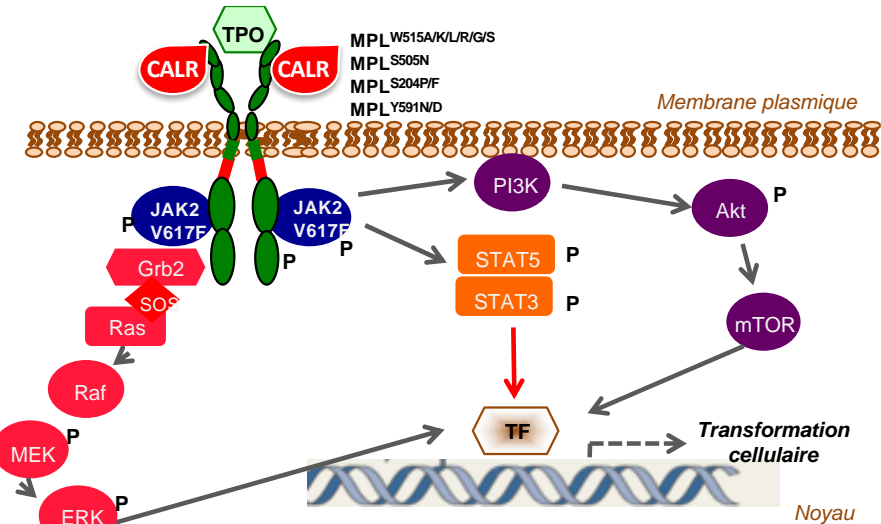
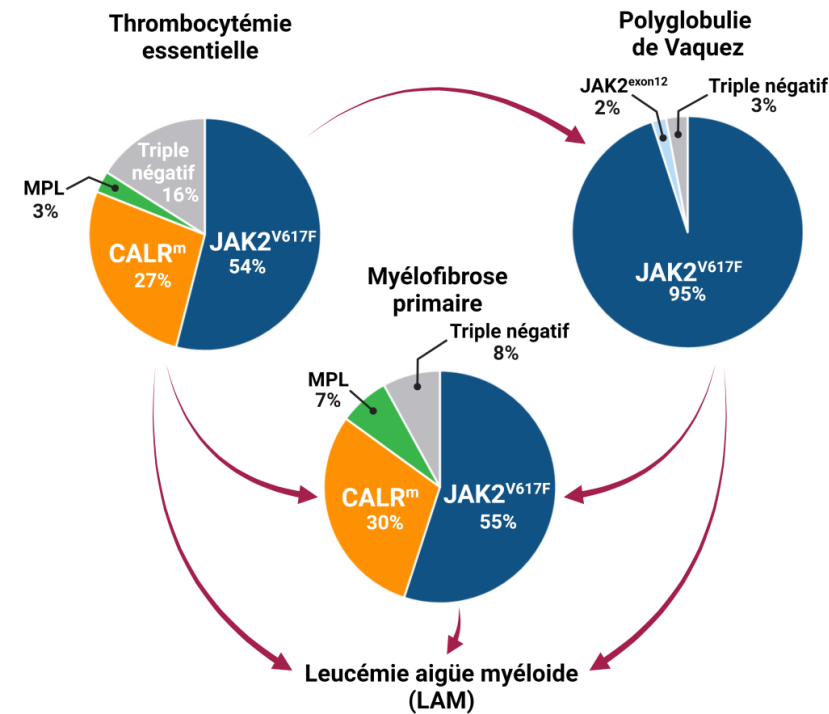
Anti-agrégants, saignées  
or traitement cytoréducteurs  
(HU - Hydrea)  
Interféron alpha

Inhibiteurs JAK1/2  
(ruxolitinib/inrebic)

Transplantation de  
moelle  
allogénique

# Paysage mutationnel des NMP

## Mutations acquises sur des gènes codant pour des molécules de la voie récepteurs de cytokines/JAK2/STAT



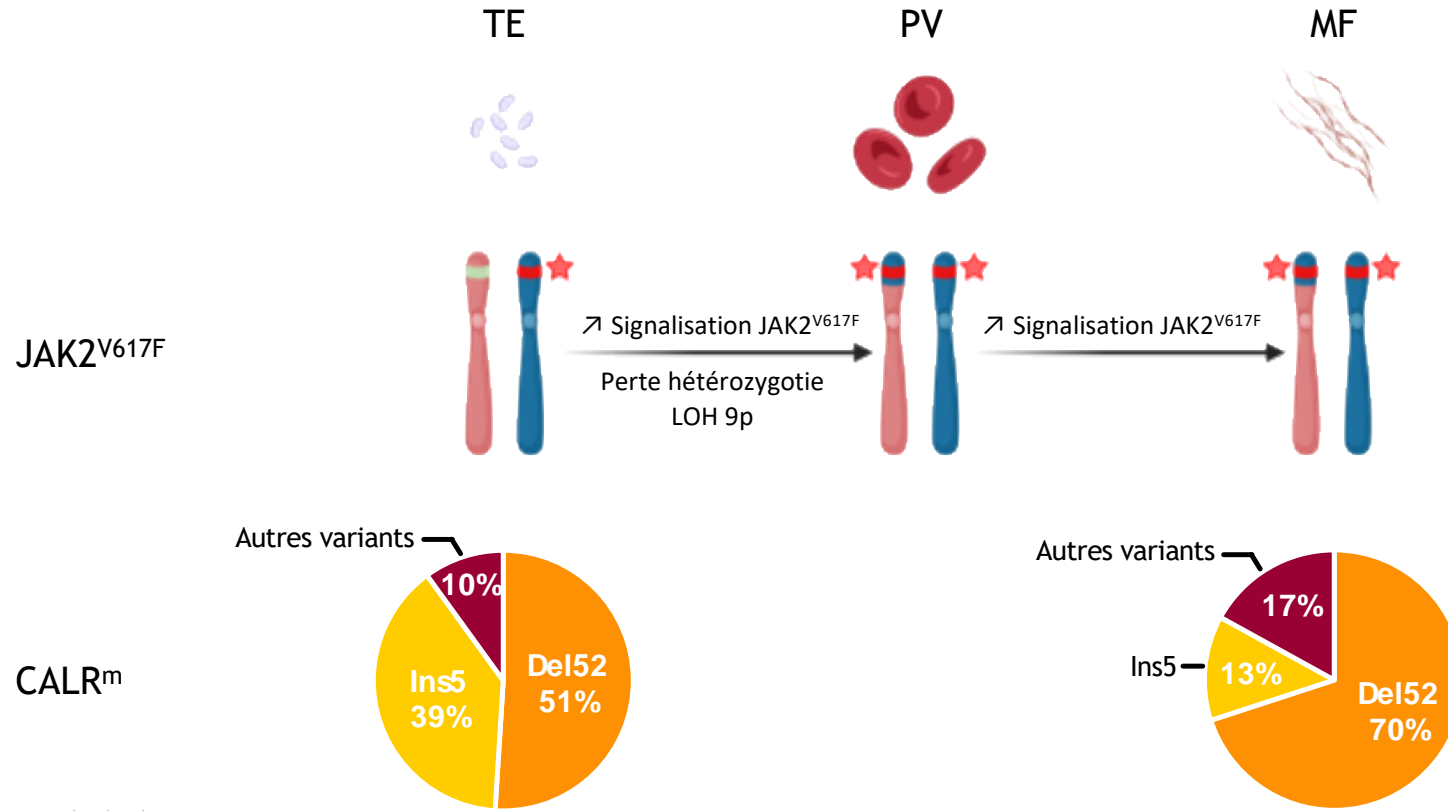
James et al., Nature, 2005

Pikman et al., Plos Medicine, 2006

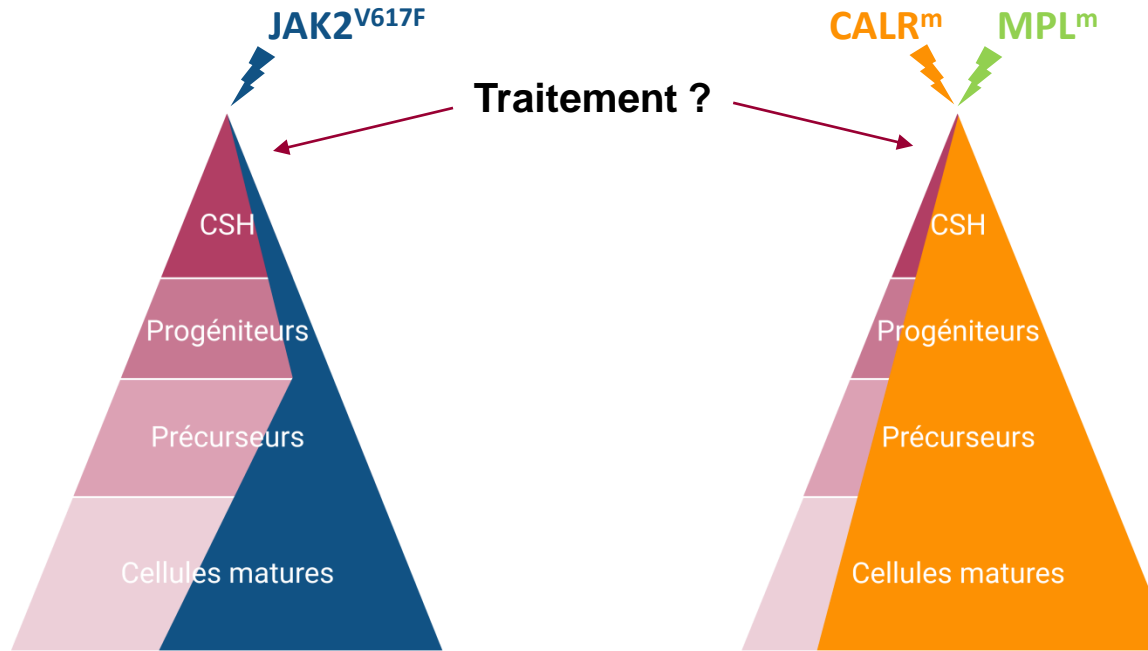
Klampfl et al., NEJM, 2013

Nangalia et al., NEJM, 2013

## Type de mutations dans les NMP



# Les mutations motrices sont acquises au niveau des cellules souches hématopoïétiques



Chaligné et al., Blood, 2007

Dupont et al., Blood, 2007

Shubha Anand et al., Blood, 2011

El-Khoury et al., Oncogene, 2020

## OBJECTIFS

Comprendre la dynamique des CSH mutées au cours du développement de la maladie

Connaître l'âge d'apparition des mutations dans les CSH

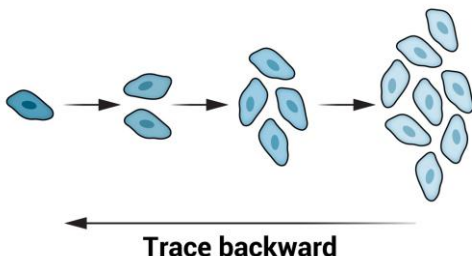
Décrypter les dynamiques d'expansion des CSH mutées

Investiguer les voies de signalisation activées dans les CSH



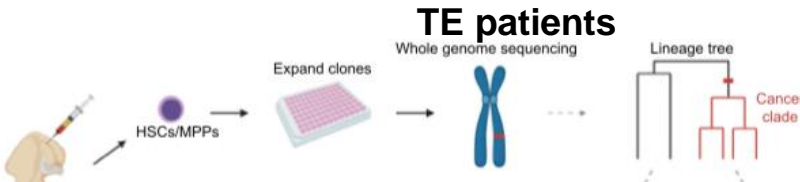
# Reconstruction rétrospective de l'histoire de la maladie JAK2<sup>V617F</sup> prolifère lentement et survient des années avant le début de la maladie

## Retrospective lineage tracing

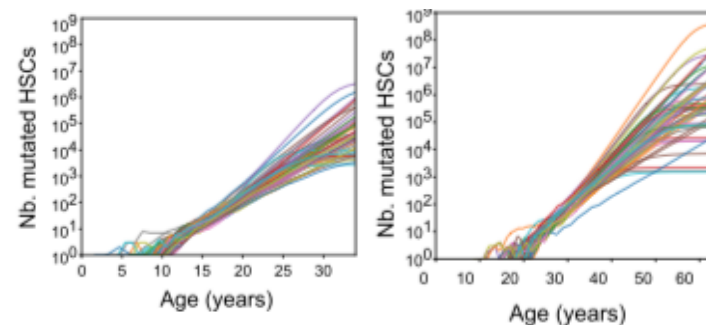
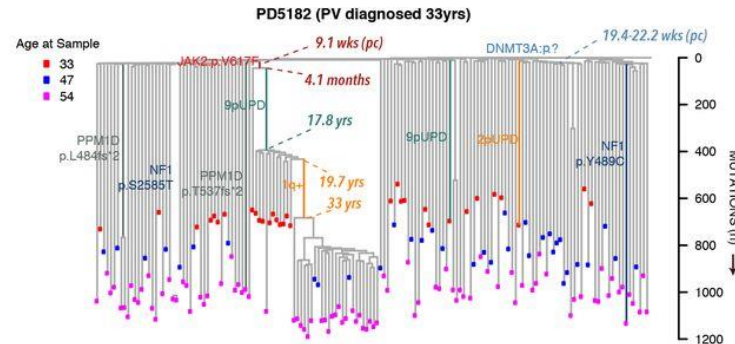


Identify sequence variation and infer ancestry

Sankaran *et al.*, *Science*, 2022



## Arbres phylogénétiques des mutations



Williams *et al.* *Nature* 2022

Van Egeren *et al.* *Cell Stem Cell* 2021

# Modèle mathématique pour reconstruire l'histoire de la maladie

## Age d'apparition des mutations et auto-renouvellement

(Collab: PH Cournède, Centralesupelec)

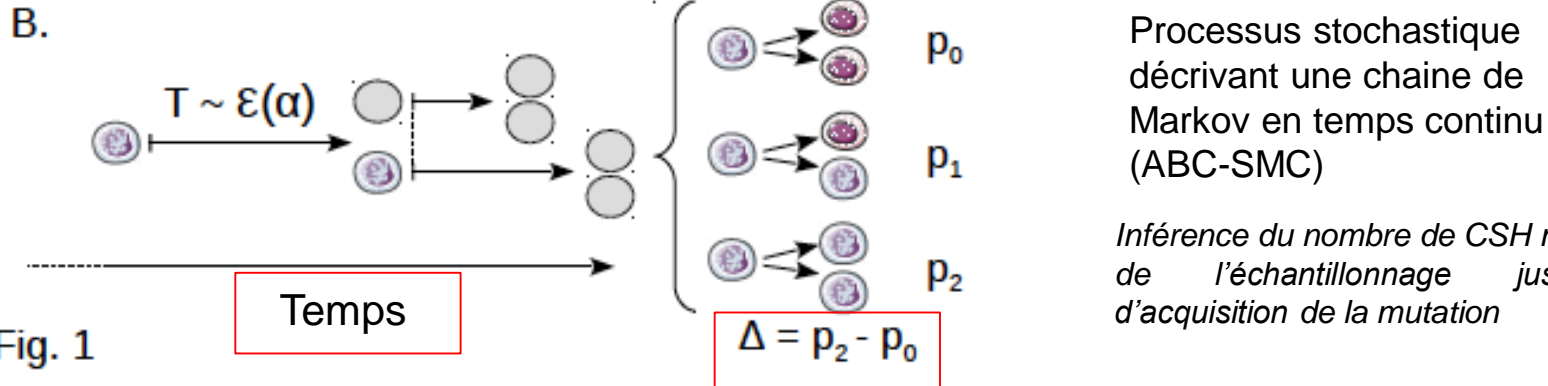
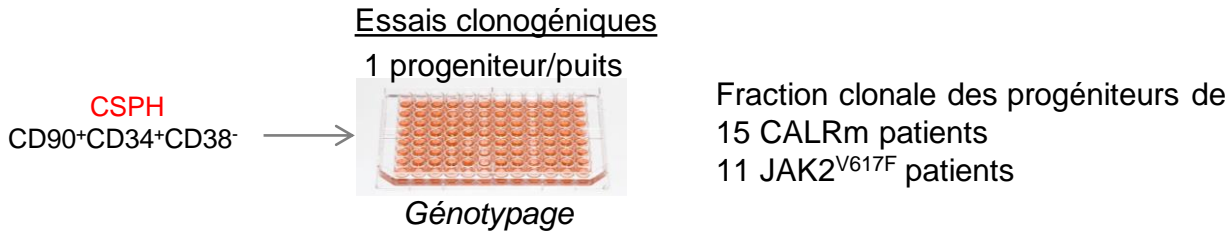


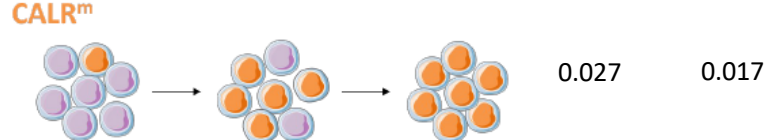
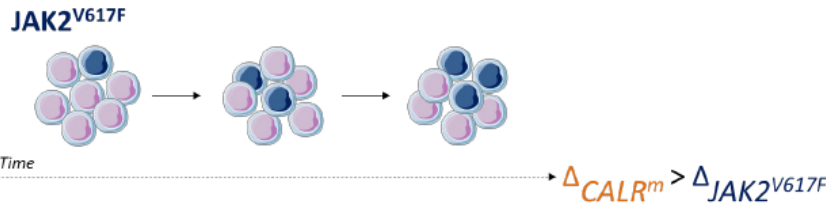
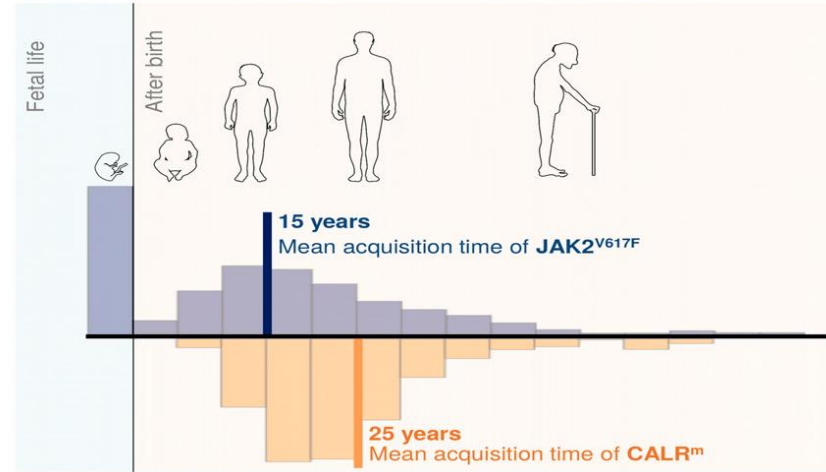
Fig. 1

$\Delta$  : auto-renouvellement des CSH mutées

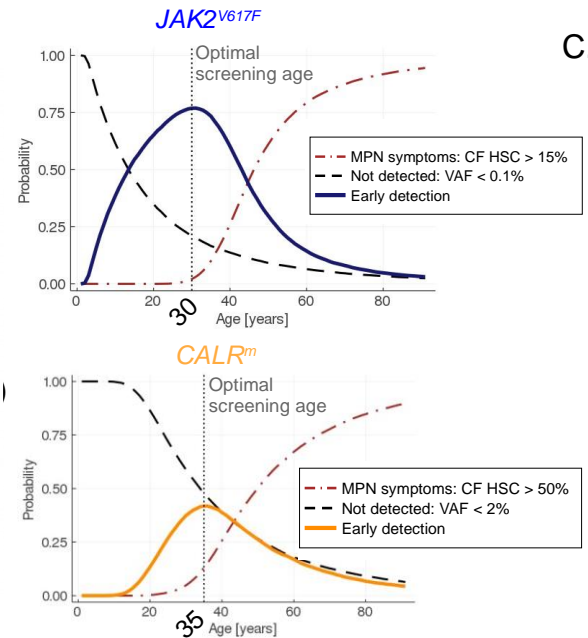
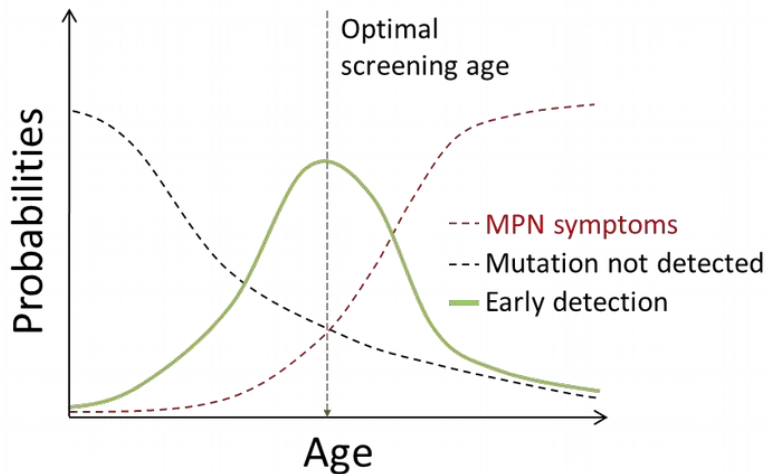
# Modèle mathématique pour reconstruire l'histoire de la maladie

## Age d'apparition des mutations et auto-renouvellement

### (Collab: PH Cournède, Centralesupelec)

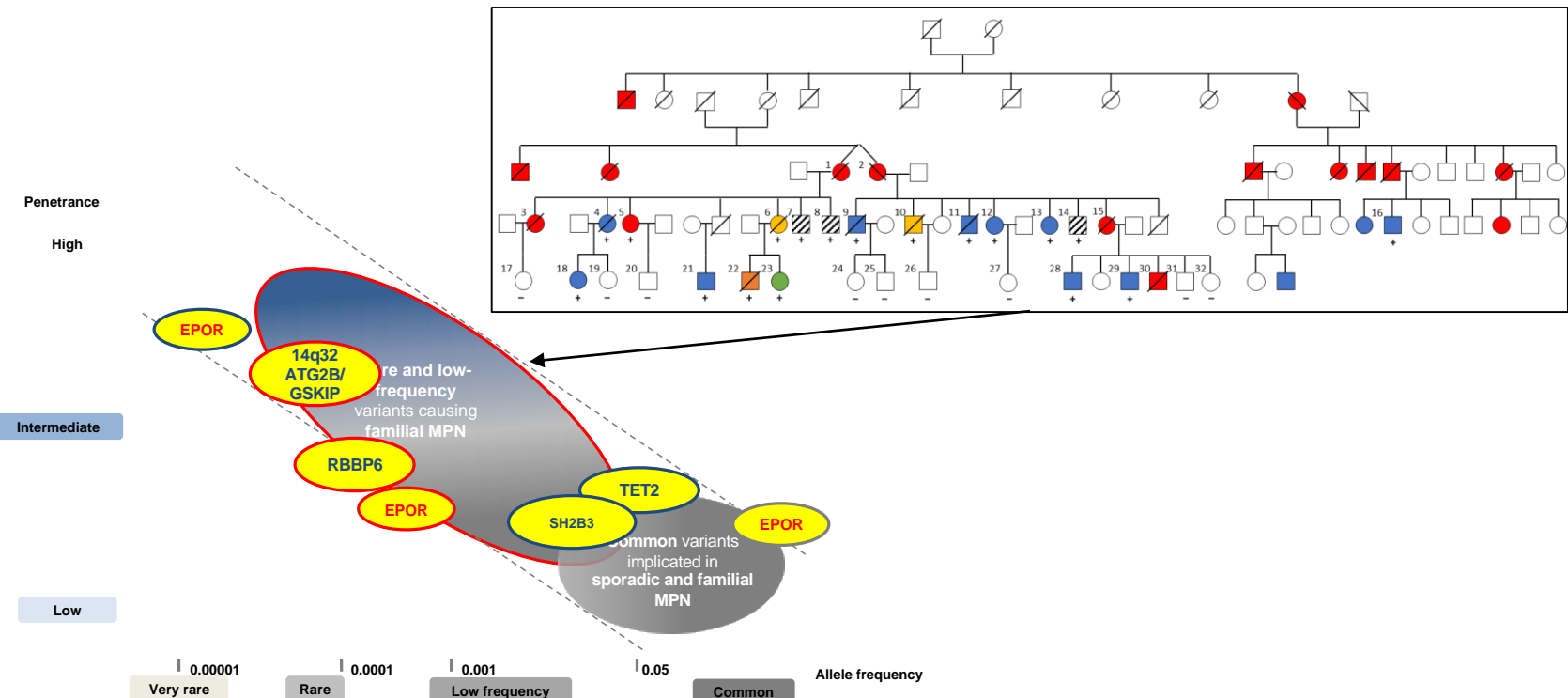


# Détection des patients à risque de développer un NMP dans la population générale par détermination de l'âge optimal de criblage des mutations $JAK2^{V617F}$ and $CALR^m$

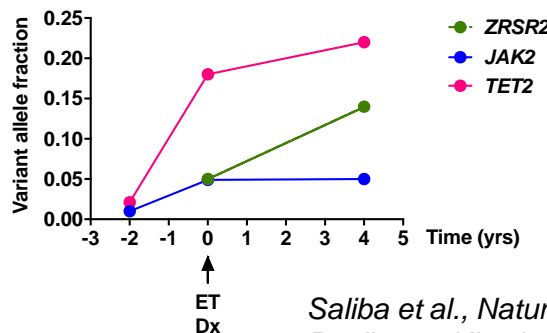
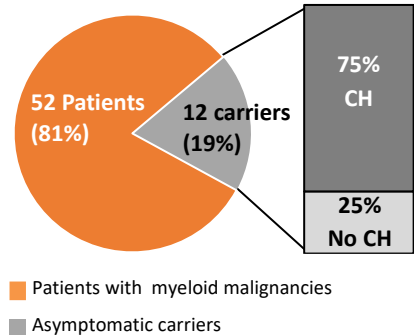
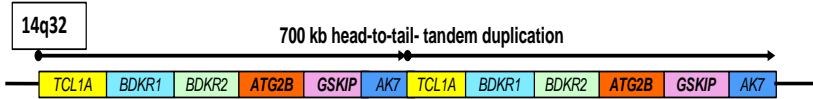


# Identification de facteurs de prédisposition germinaux dans les familles de NMP

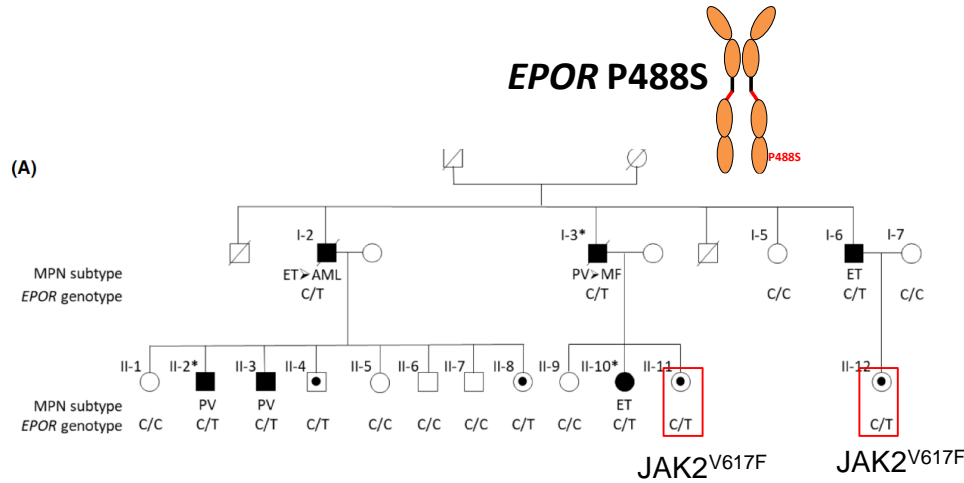
## Détection des porteurs asymptomatiques



# Les porteurs asymptomatiques développent des hématopoïèses clonales très précoces



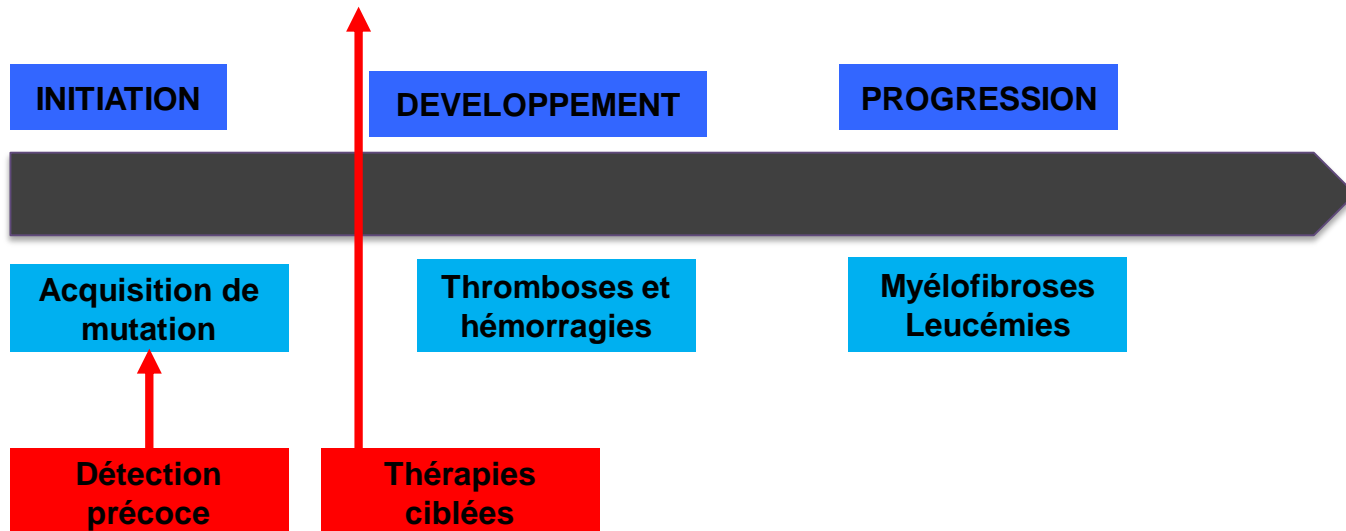
Saliba et al., Nature Genet, 2015  
Pegliasco, Hirsch et al., Leukemia, 2022



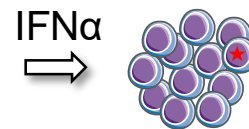
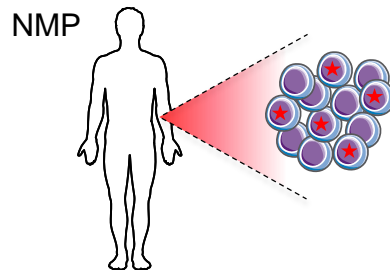
Rabidan Moraes et al., BJH, 2022

Détection des cas à risque de NMP  
Optimisation du suivi médical et prévention

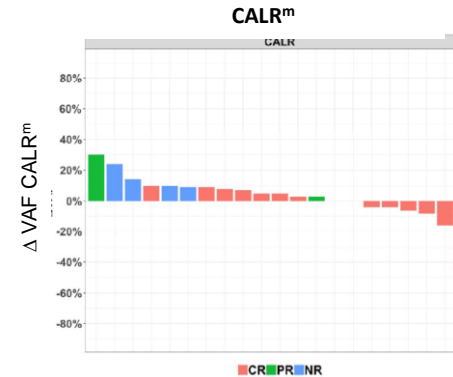
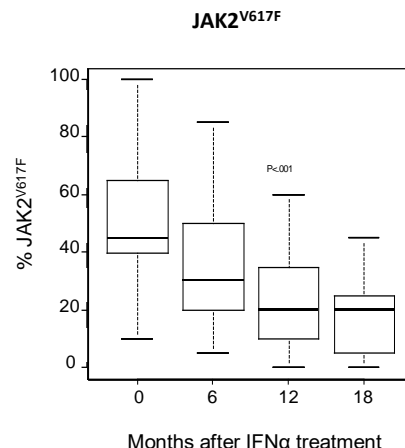
# INTERCEPTION DES NMP PAR DES THERAPIES CIBLEES?



# Thérapie ciblée: l'IFN $\alpha$

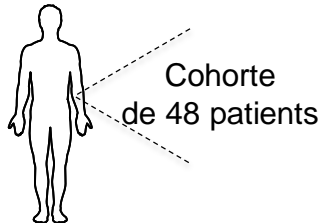


- > 70% des patients en réponse hématologique
- Réponses moléculaires
- Réponses moléculaires complètes (8-20% JAK2 $V617F$  patients)
- Réponse moléculaires complètes rares
- Long-terme => Toxicités
- Intolerance

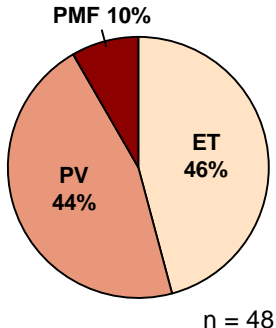


Silver, Lancet, 1998  
Kiladjian et al., Blood, 2008  
Mascarenhas et al., Blood, 2022  
Gisslinger et al., Lancet Haematol, 2020

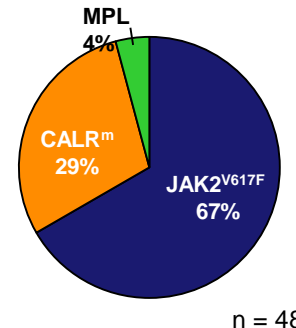
**Etude de la dynamique des CSH mutées au cours du traitement par IFN $\alpha$**   
**Génération d'une cohorte observationnelle longitudinale et prospective**  
**NMP traités avec IFN $\alpha$  sur plus de 5 ans**



**Distribution des NMP**

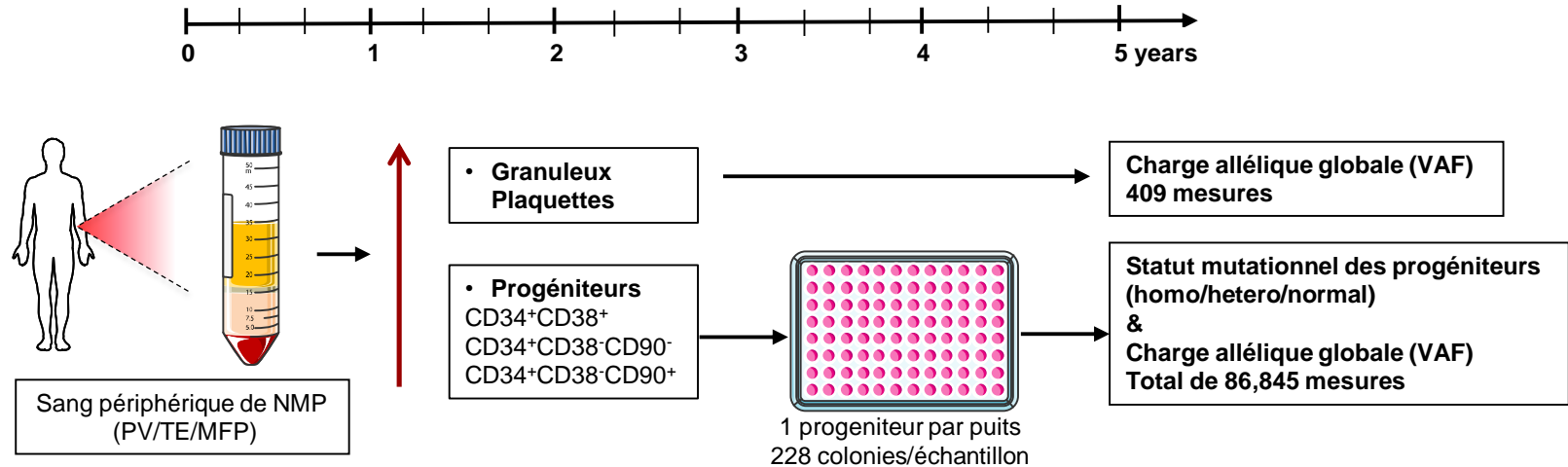


**Distribution des mutations motrices**



## Stratégie de mesure de la réponse moléculaire des 48 patients dans les différents compartiments hématopoïétiques

- Echantillons collectés plusieurs fois /an pour chaque patient => analyses de charges alléliques des variants (VAF) et des fractions clonales (CF)



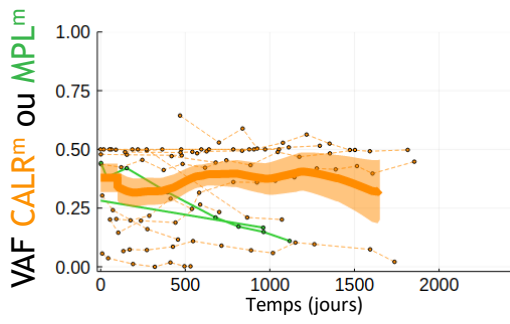
CD34<sup>+</sup> CD38<sup>+</sup> : progéniteurs myéloïdes communs

CD34<sup>+</sup> CD38- CD90<sup>-</sup> : progéniteurs immatures

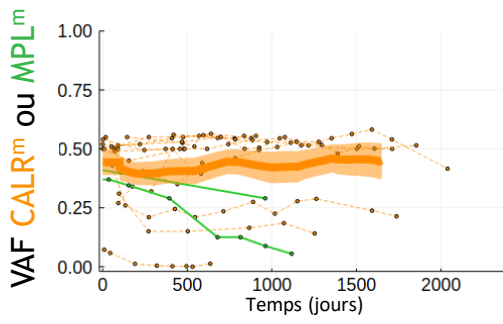
CD34<sup>+</sup> CD38- CD90<sup>+</sup> : progéniteurs immatures enrichis en CSH

# Dynamique des cellules sous IFN $\alpha$ en fonction des mutations motrices

Progéniteurs CD34 $^{+}$

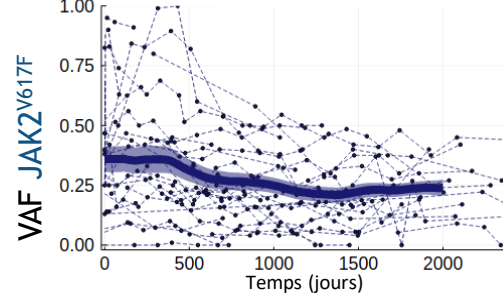
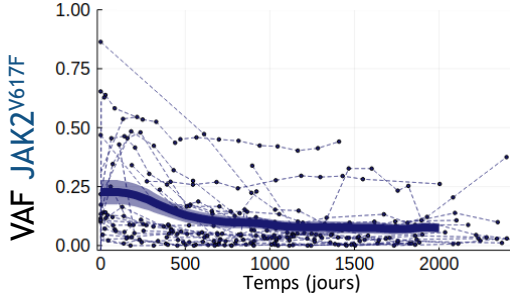


Cellules matures (PNN)



— CALR $m$   
— MPL $m$   
— CALR $m$  (moyenne)

VAF : variant allele frequency (charge allélique)



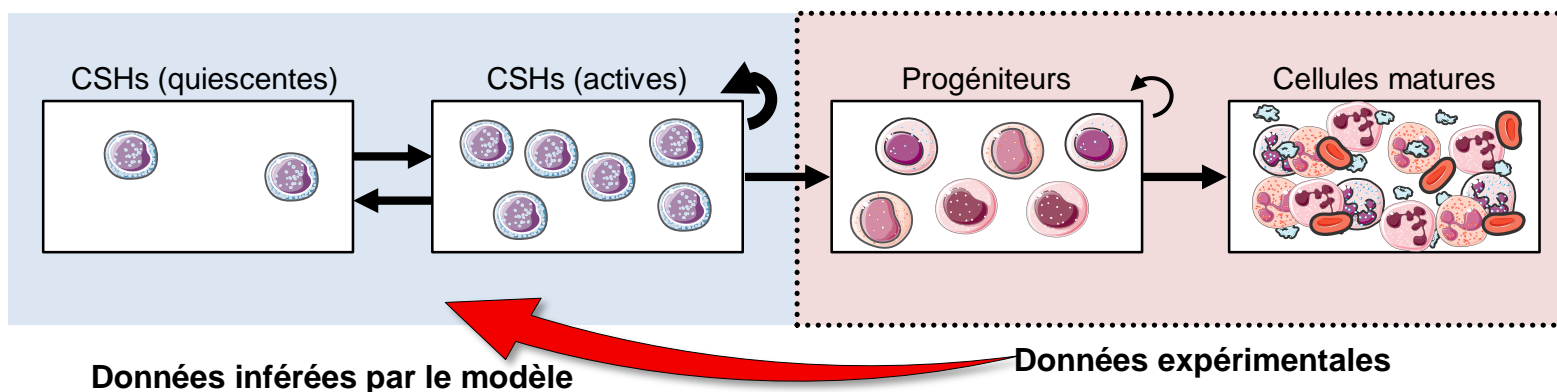
— JAK2 $V617F$   
— JAK2 $V617F$  (moyenne)

Diminution lente de JAK2 $V617F$  au cours du traitement à l'IFN $\alpha$  dans les progéniteurs et les PNN **contrairement** à CALR $m$

## Génération d'un nouveau modèle mathématique pour inférer le comportement à long-term des CSH mutées

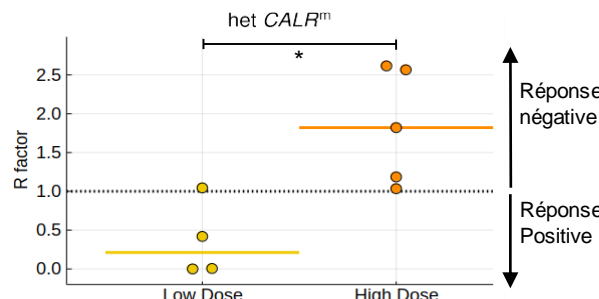
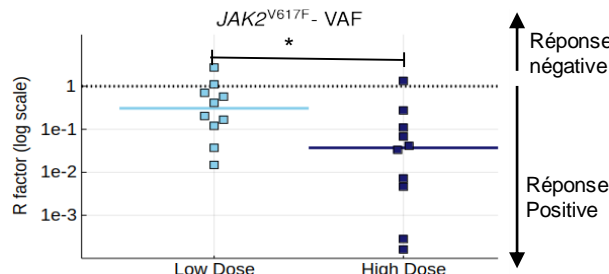
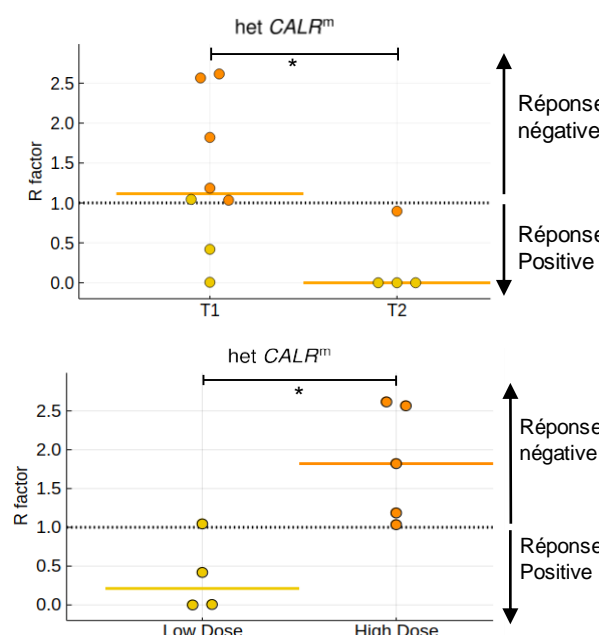
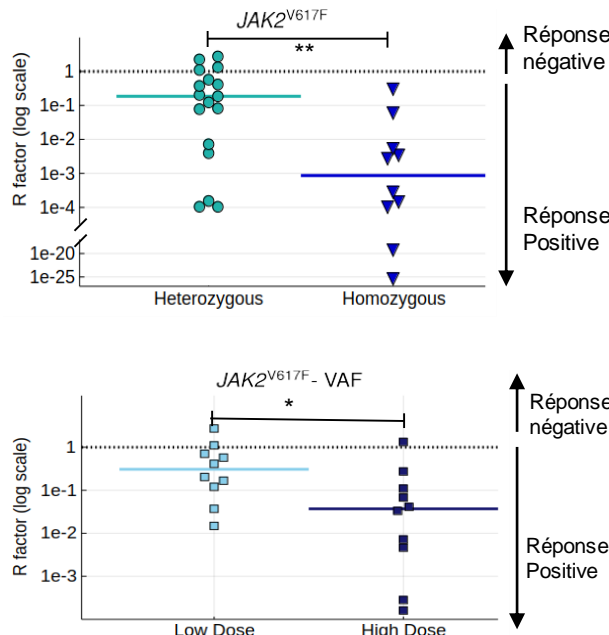
Modèle mathématique compartimental fait sur mesure combiné à une analyse hiérarchique Bayesienne

Adapted from Michor *et al.*, Nature, 2005



# Les CSH sont ciblées différemment selon le type de mutation, leur zygote, et les doses IFN $\alpha$ après 3000 days

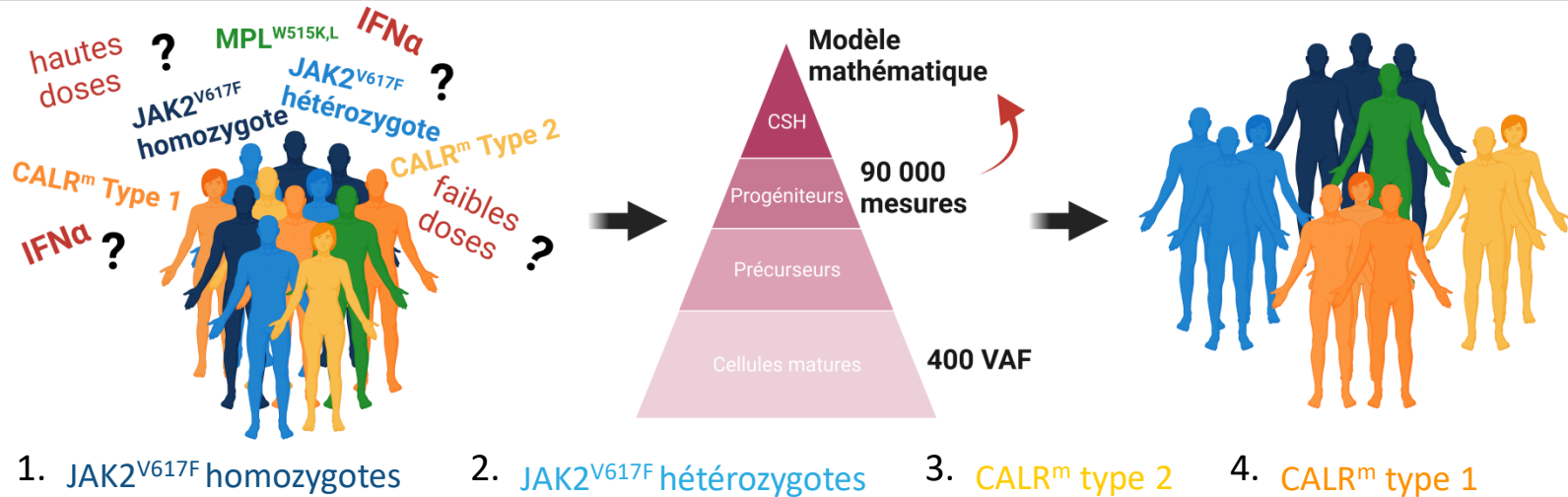
Facteur de réponse ( $R$ ) = proportion des CSH mutées à 3000 jours par rapport à sa valeur initiale



Faible dose < 90  $\mu$ g/semaine  
Haute dose > 90  $\mu$ g/semaine

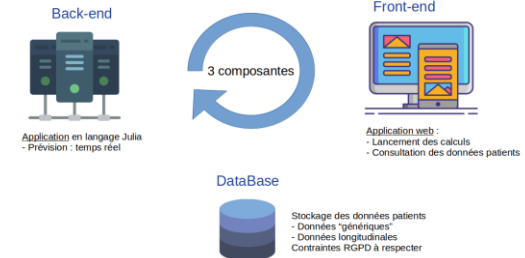
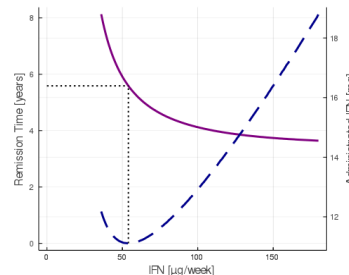
- IFN $\alpha$  cible mieux les CSH:**
- $JAK2^{V617F}$  que les  $CALR^m$
  - $JAK2^{V617F}$  homozygotes que les hétérozygotes
  - $CALR$  T2 que  $CALR$  T1
  - $JAK2^{V617F}$  à des hautes doses
  - $CALR^m$  à des faibles doses

# Stratification des patients pour la réponse moléculaire à long terme au traitement à l'IFN $\alpha$



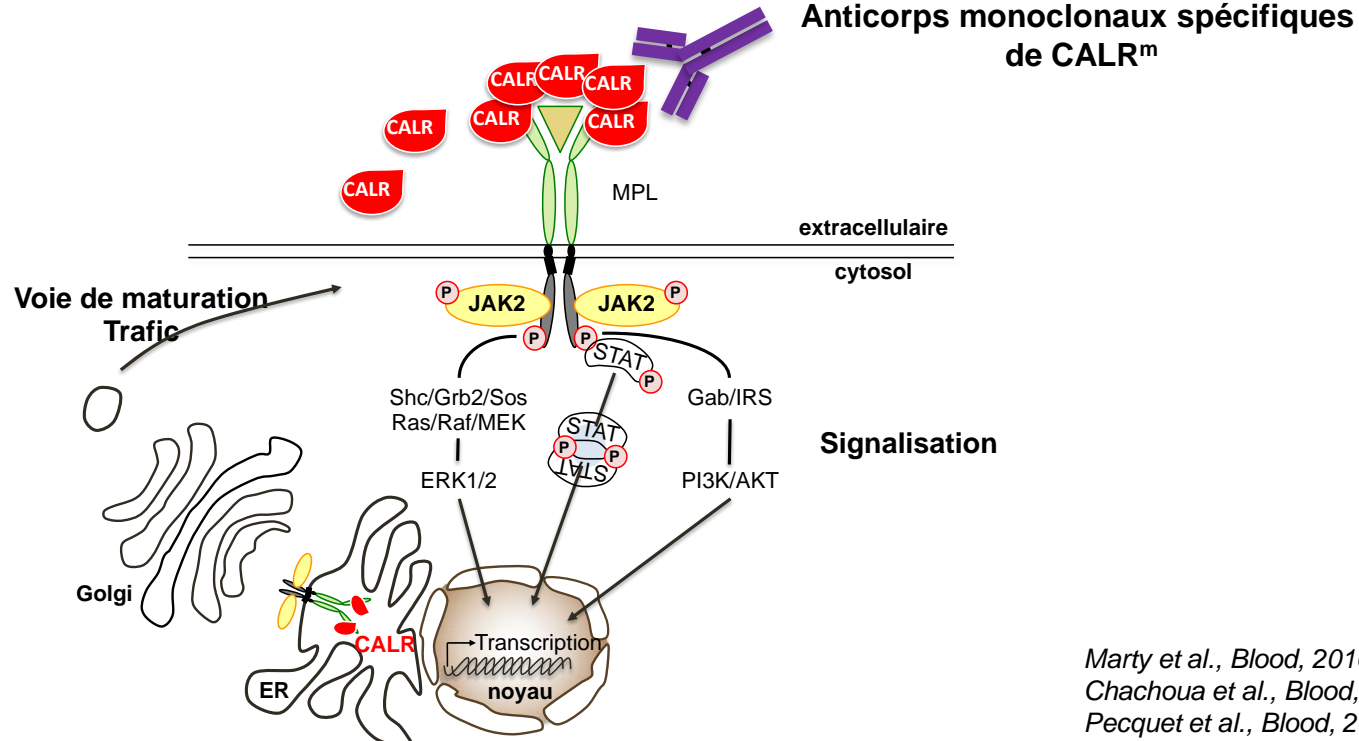
Mosca\*, Hermange\*, Tisserand\*, Noble\* et al., Blood, 2021

## Optimisation and prédition pour les nouveaux patients en traitement



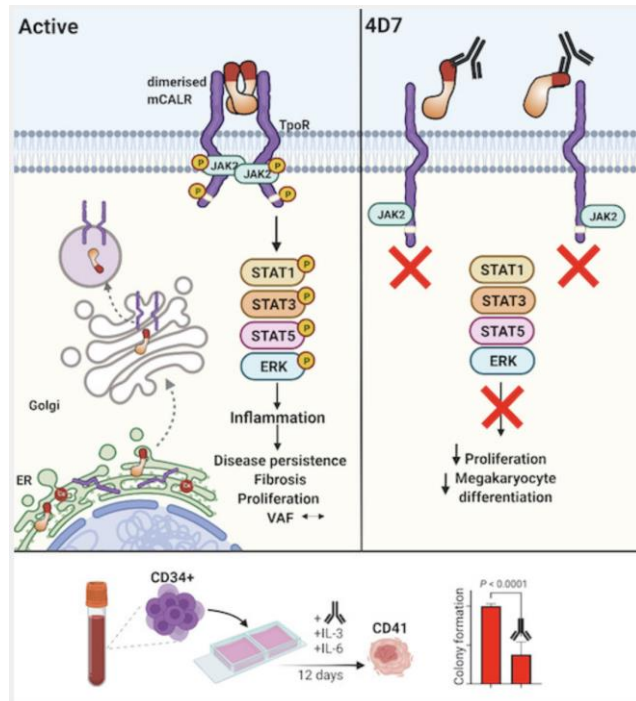
# CALR<sup>m</sup> se fixe et active MPL à la surface cellulaire

## Thérapies ciblées pour les patients CALR<sup>m</sup> : anticorps monoclonaux



- Marty et al., Blood, 2016  
Chachoua et al., Blood, 2016  
Pecquet et al., Blood, 2019  
Liu et al., Mol Cell, 2020  
Di Buduo et al., Blood, 2020  
Pecquet\*, Tisserand\* et al., Blood, 2022

# Thérapies ciblées pour les patients CALR<sup>m</sup> : anticorps monoclonaux



Tvorogov et al., EMBO report, 2022



ASH, Plenary session, 2022

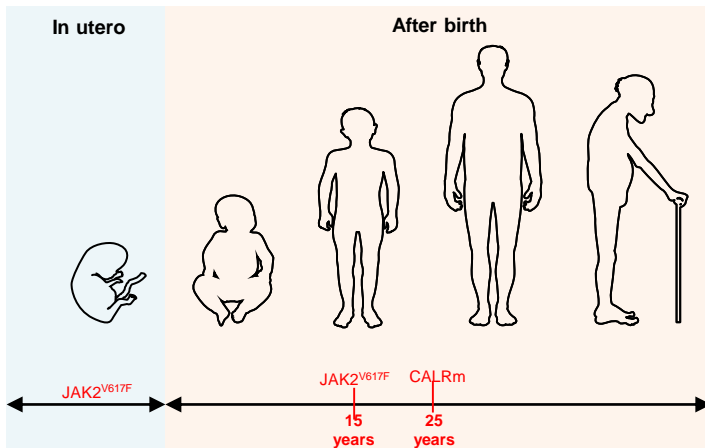
[Discovery of INCA033989, a Monoclonal Antibody That Selectively Antagonizes Mutant Calreticulin Oncogenic Function in Myeloproliferative Neoplasms \(MPNs\)](#)

Edimara Reis, PhD<sup>1\*</sup>, Rebecca Buonpane<sup>1\*</sup>, Hamza Celik, PhD<sup>1\*</sup>, Caroline Marty, PhD<sup>2\*</sup>, Angela Lei<sup>1\*</sup>, Fatoumata Jobe<sup>1\*</sup>, Mark Rupar<sup>1\*</sup>, Yue Zhang<sup>1\*</sup>, Darlise DiMatteo<sup>1\*</sup>, Rahel Awdew<sup>1\*</sup>, William Vainchenker, MD, PhD<sup>2\*</sup>, Jing Zhou<sup>1\*</sup>, Ian Hitchcock, PhD<sup>3</sup>, Isabelle Plo<sup>2\*</sup>, Horacio Nastri<sup>1\*</sup> and Patrick Mayes<sup>1\*</sup>

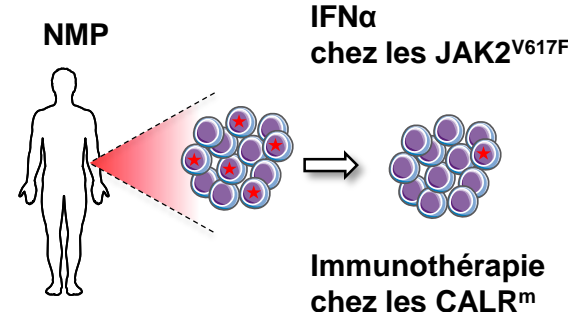
# INTERCEPTION DES NMP

## PREDICTION DES PATIENTS A RISQUE ET TRAITEMENTS CURATEURS

Prédire les patients à risque  
dans la population générale et les familles de NMP



Thérapies ciblées  
Prédire l'efficacité  
de traitements



# ACKNOWLEDGMENTS

**INSERM, U1287**

**Gustave Roussy  
Villejuif, France**

Hana Raslova  
Caroline Marty  
Iléana Antony-Debré  
William Vainchenker  
Monika Wittner  
Christine Bellanné-Chantelot

**Ph.D**

Matthieu Mosca  
Amandine Tisserand  
Jean Pegliasco  
Mira Elkhoury

**Engineers**

Elodie Rosa  
Maxime Evrard

**Centralesupelec, Saclay,  
France**

Paul-Henry Cournède  
Gurvan Hermange

**Ludwig Institute for Cancer  
Research  
de Duve Institute, Brussels**  
Stefan Constantinescu  
Gaëlle Vertenoil

**CHU Dijon**  
François Girodon

**Gustave Roussy,  
Service clinique d'hématologie**  
Florence Pasquier  
Jean Baptiste Micol  
Eric Solary  
Christophe Marzac

**Hôpital Saint Antoine**  
François Delhommeau  
Pierre Hirsch

**Hôpital Saint-Louis**  
Jean Jacques Kiladjian  
Bruno Cassinat

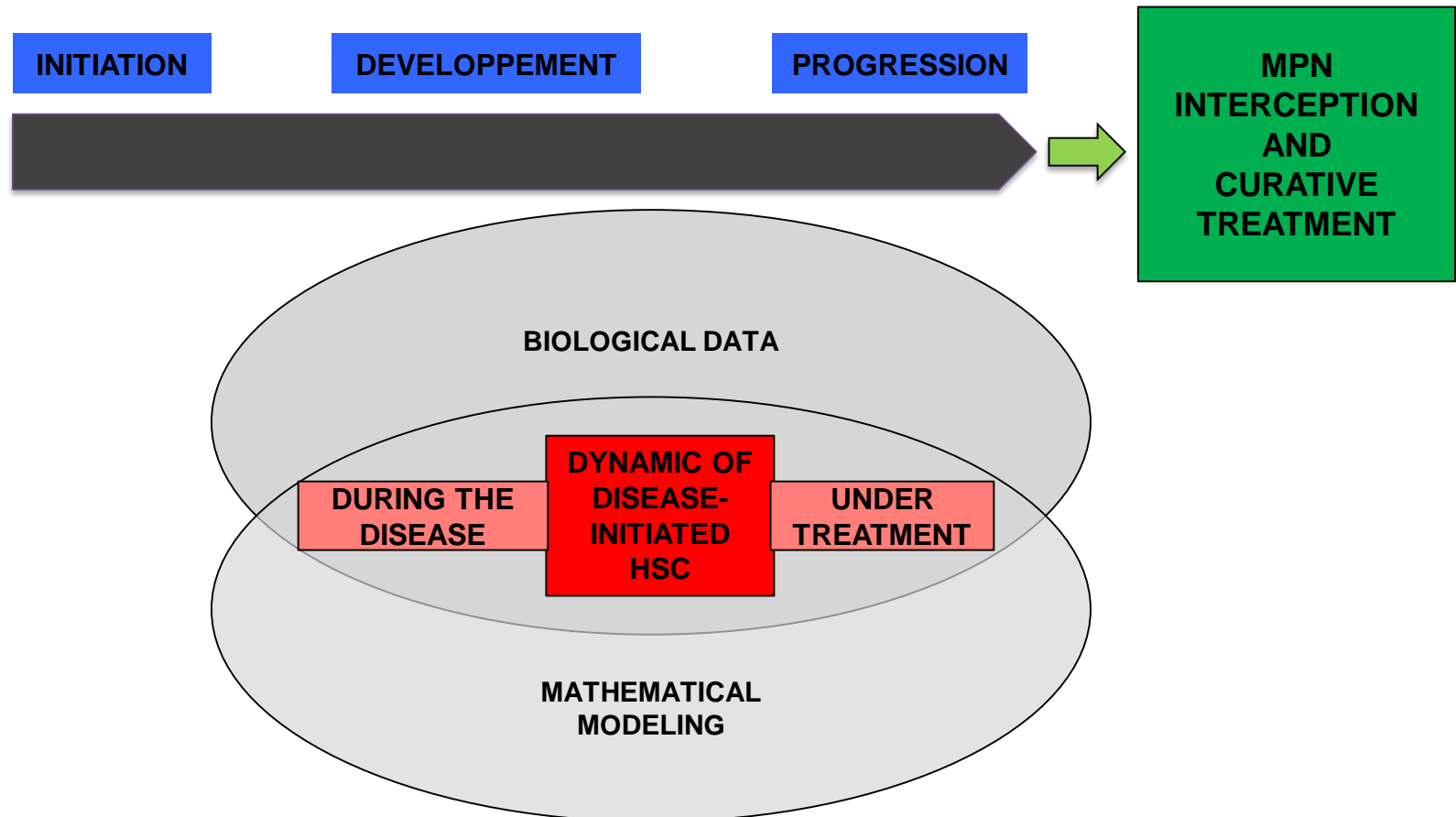
**Cytometry platform**  
Yann Lecluse  
Philippe Rameau

**Genomic platform**  
Nathalie Droin

**Engineers/ Post-doc positions available**

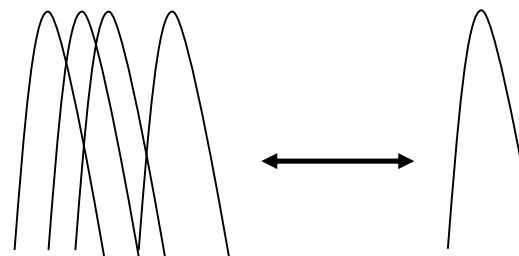
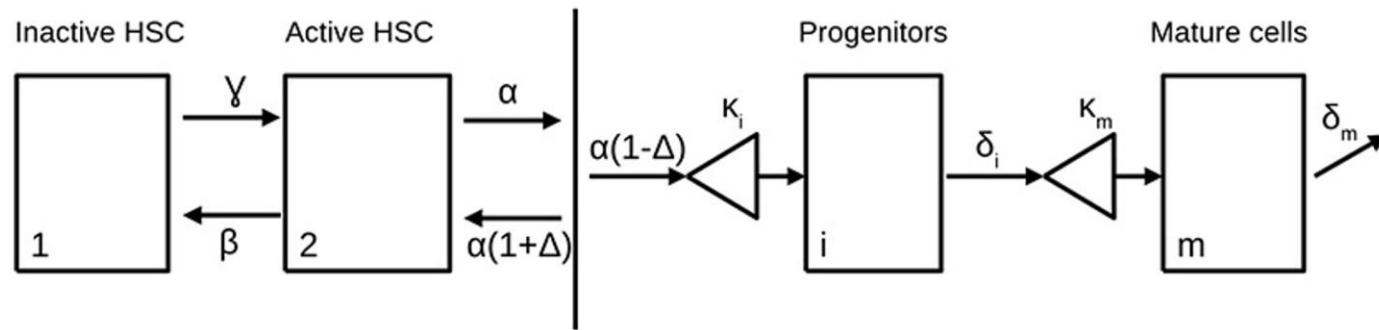


## Research axis to optimize treatments



## Generation of a new mathematical model to infer the long-term behavior of mutated HSC

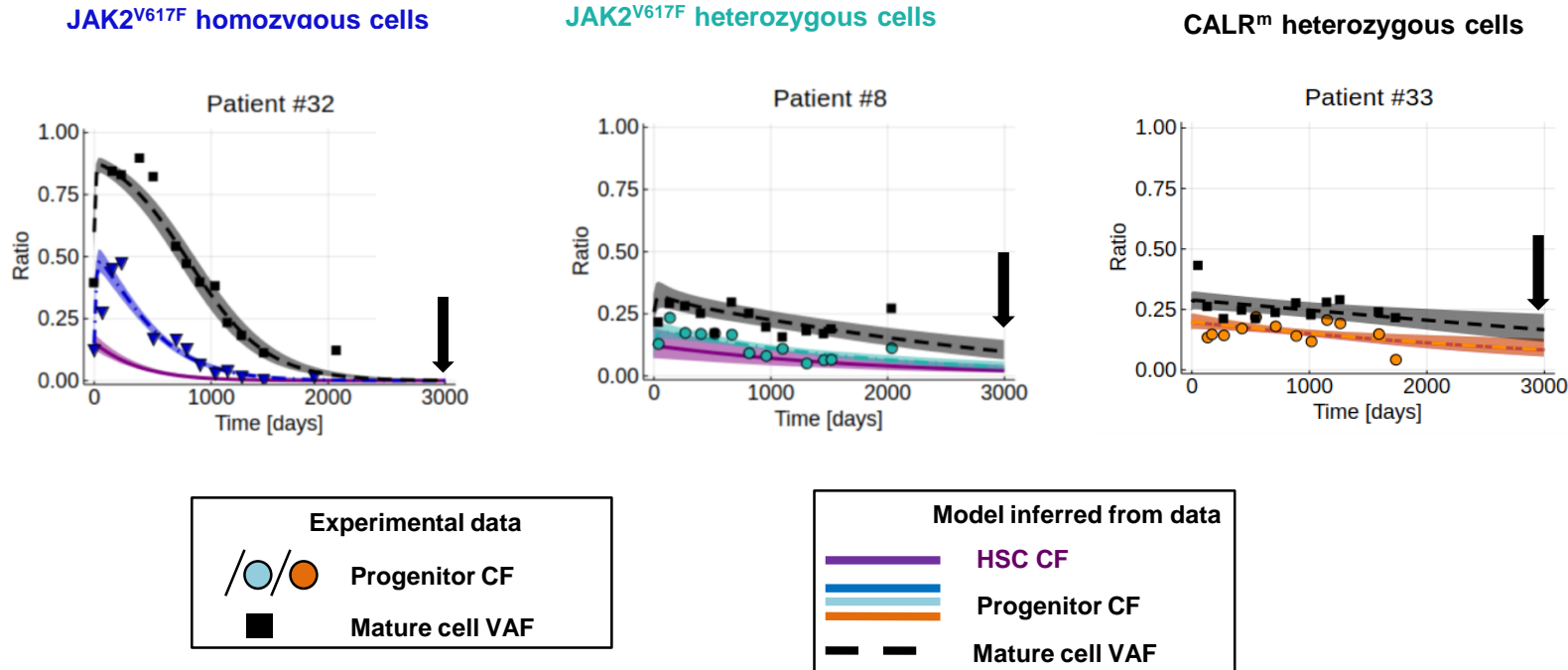
Tailor-made compartmental mathematical model combined with hierachical Bayesian analysis



Parameters of each individual

Hyperparameters of the group

## Model fit and inferred dynamics in $JAK2^{V617F}$ patients with the mathematical model including those in HSC



Good fit of experimental data / model

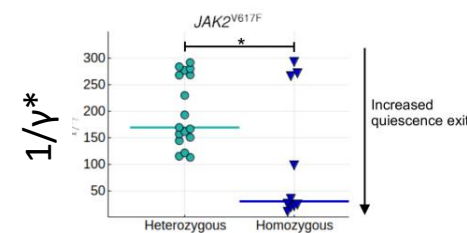
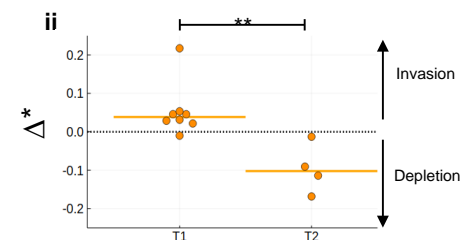
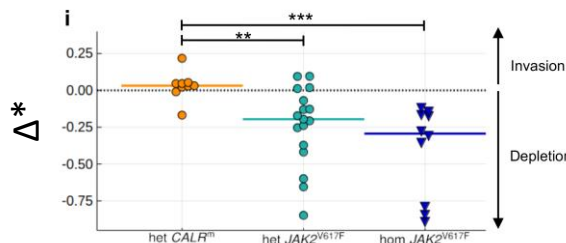
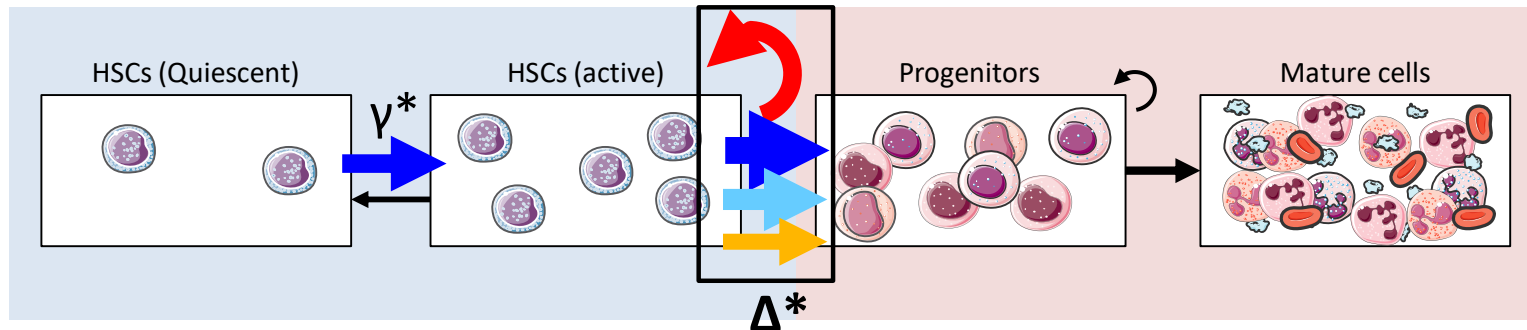
Different dynamics observed in homozygous  $JAK2^{V617F}$ , heterozygous  $JAK2^{V617F}$  cells and  $CALR^m$  cells

# IFNa differentially impacts on $JAK2^{V617F}$ and $CALR^m$ HSC homeostasis

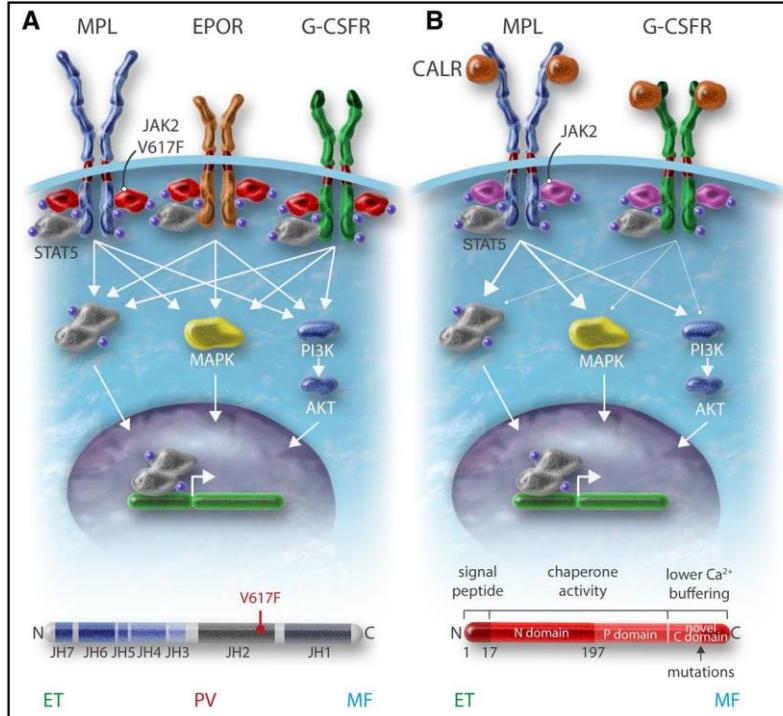
Homozygous  $JAK2^{V617F}$  + IFNa  
Heterozygous  $JAK2^{V617F}$  + IFNa

$CALR^m$  heterozygous type 1 + IFNa  
 $CALR^m$  heterozygous type 2 + IFNa

$\Delta^*$  : self renewal divisions of mutated HSCs under IFNa  
 $\gamma^*$  : rate at which quiescent mutated HSC become active



# JAK2<sup>V617F</sup>, CALR et MPL mutants are gain-of-function They constitutively activate JAK2/STAT pathway



From Vainchenker and Kralovics, **Blood**, 2017

Marty *et al.*, **Blood**, 2015

Chachoua *et al.*, **Blood**, 2015

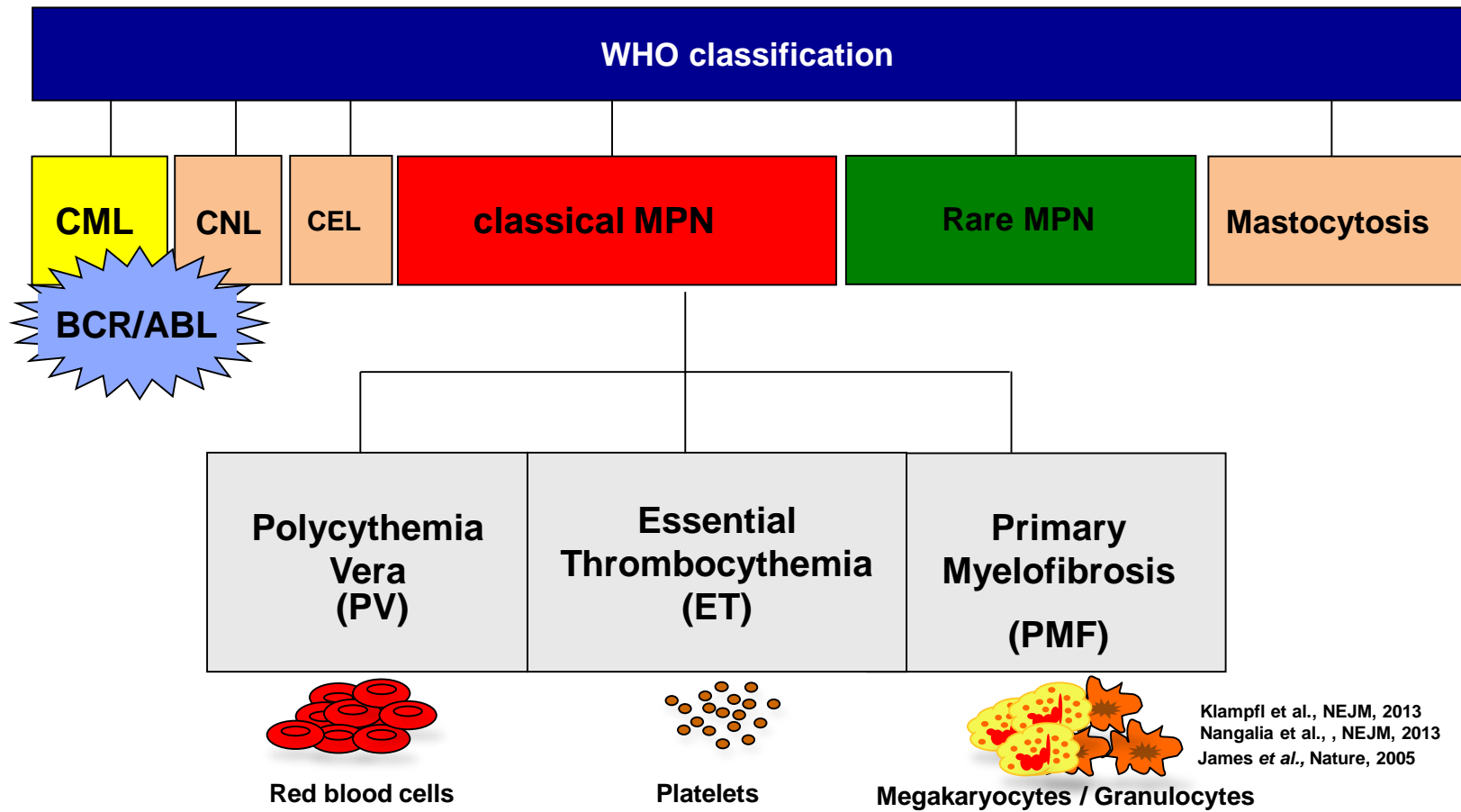
Araki *et al.*, **Blood**, 2015

Elf *et al.*, **Cancer Discovery**, 2016

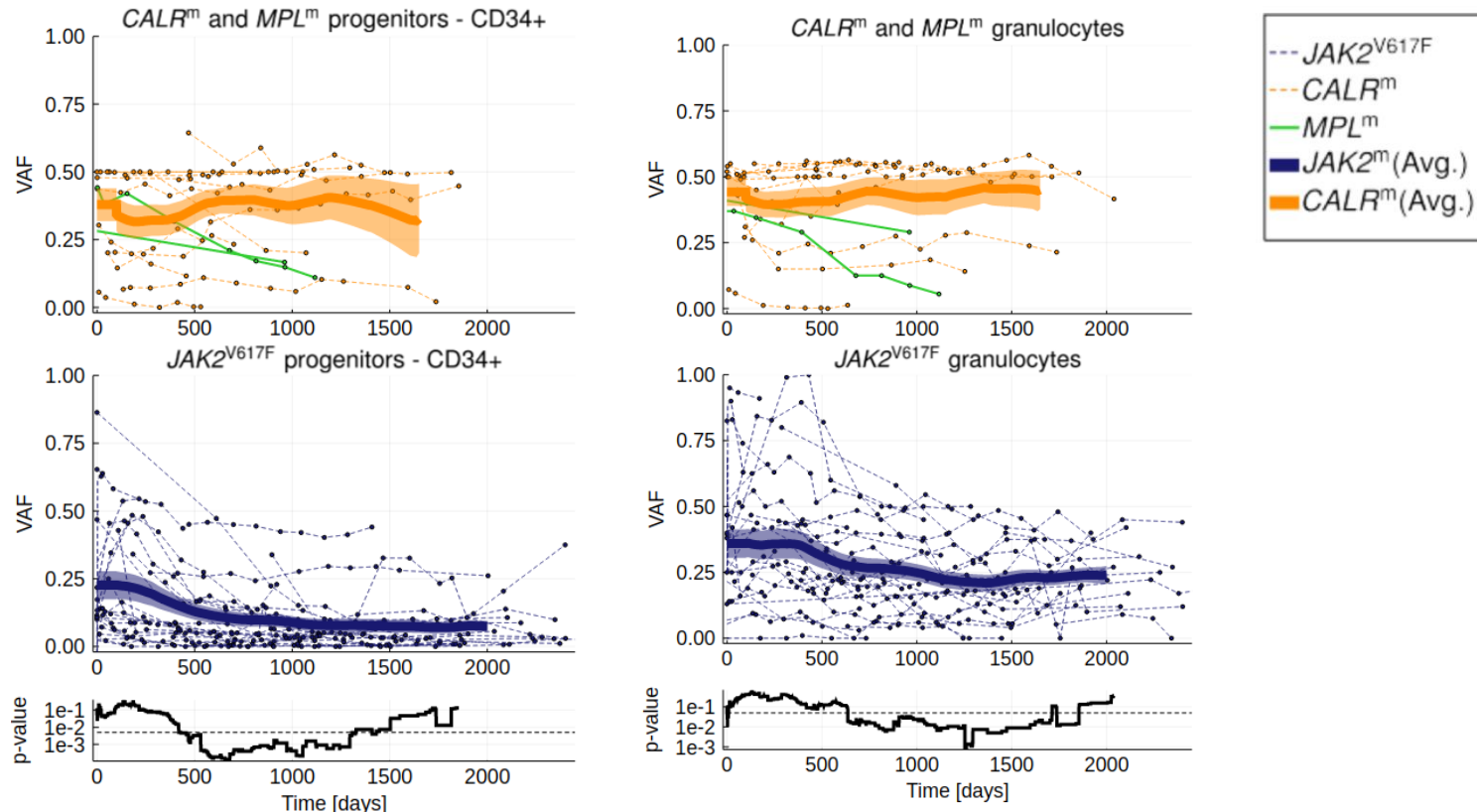
Vainchenker *et al.*, **Blood**, 2017

Lu *et al.*, **PNAS**, 2005

## MYELOPROLIFERATIVE NEOPLASMS (MPN)



# Dynamiques des cellules mutées au cours du traitement par IFN $\alpha$



IFN $\alpha$  cible mieux les cellules JAK2<sup>V617F</sup> and MPL<sup>m</sup> que les cellules CALR<sup>m</sup>